

161

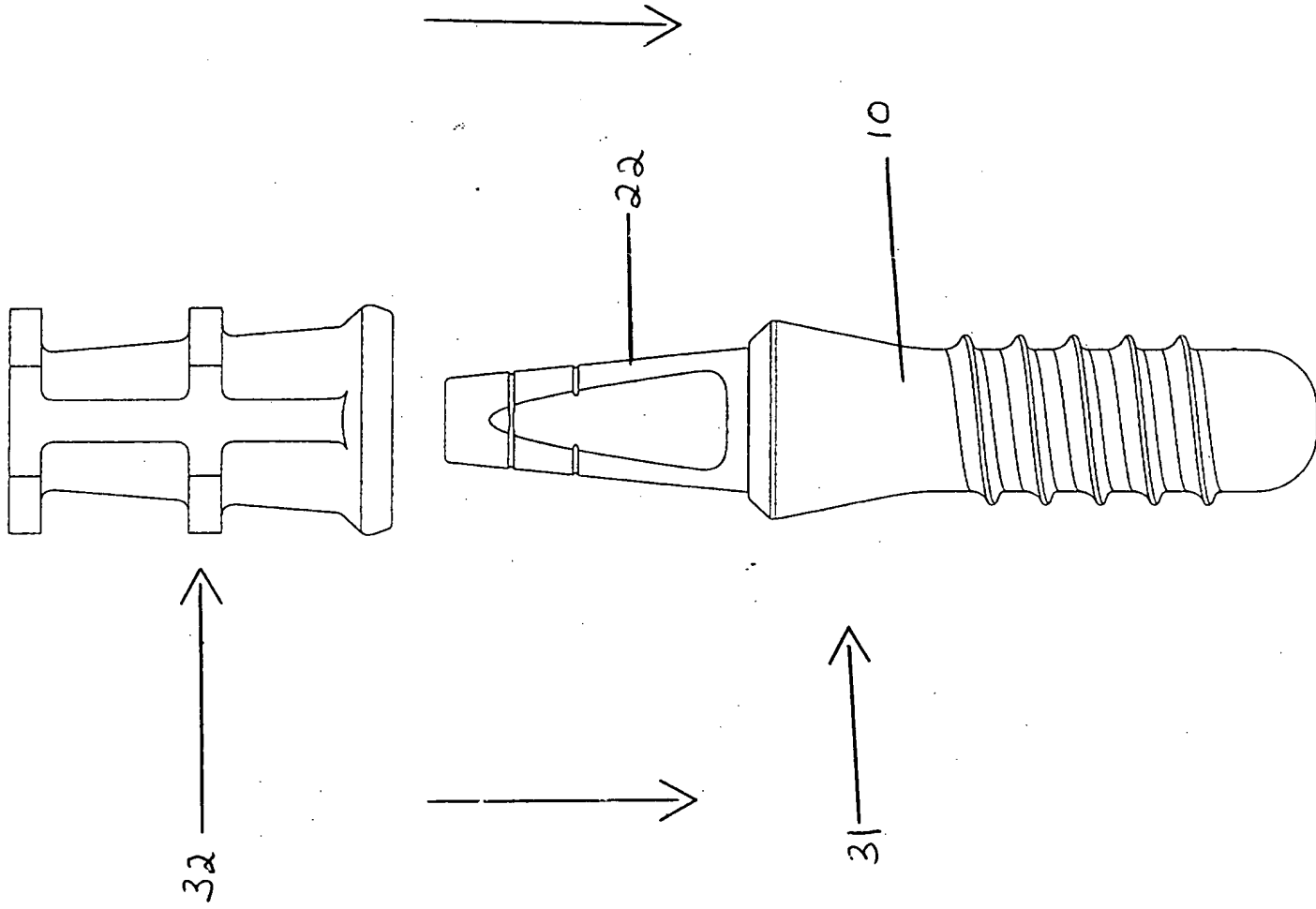


FIG. 2

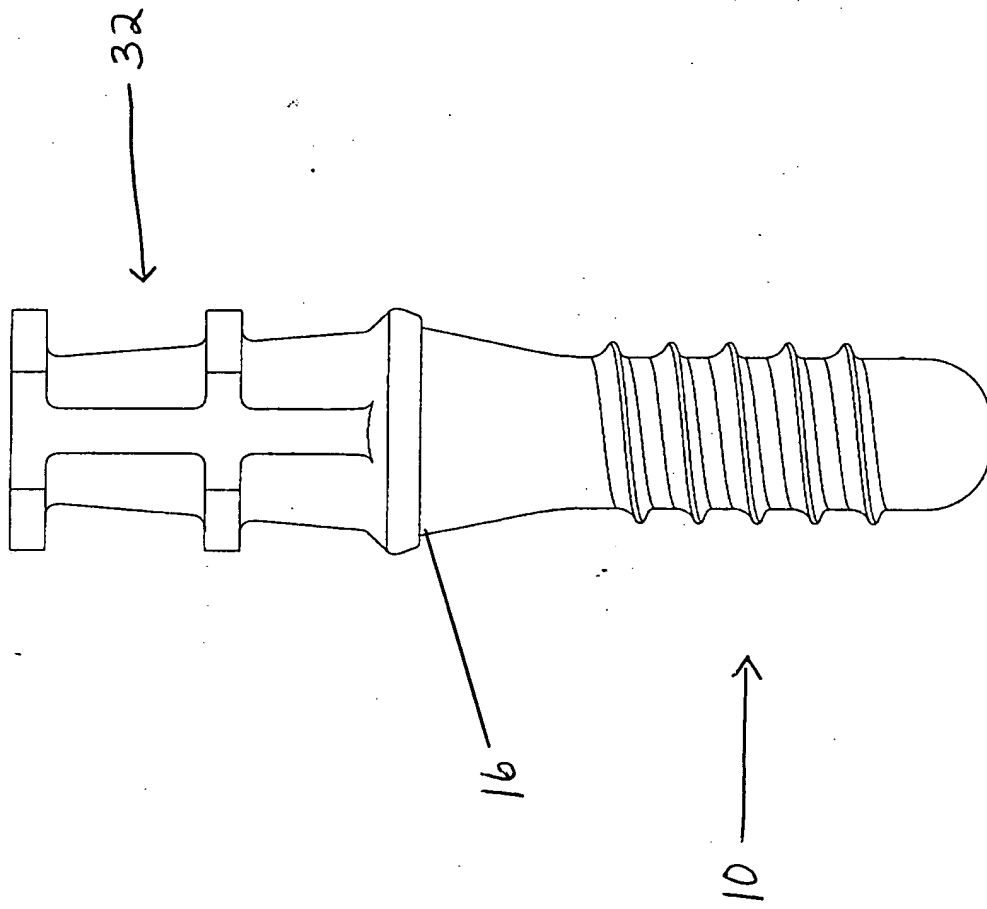
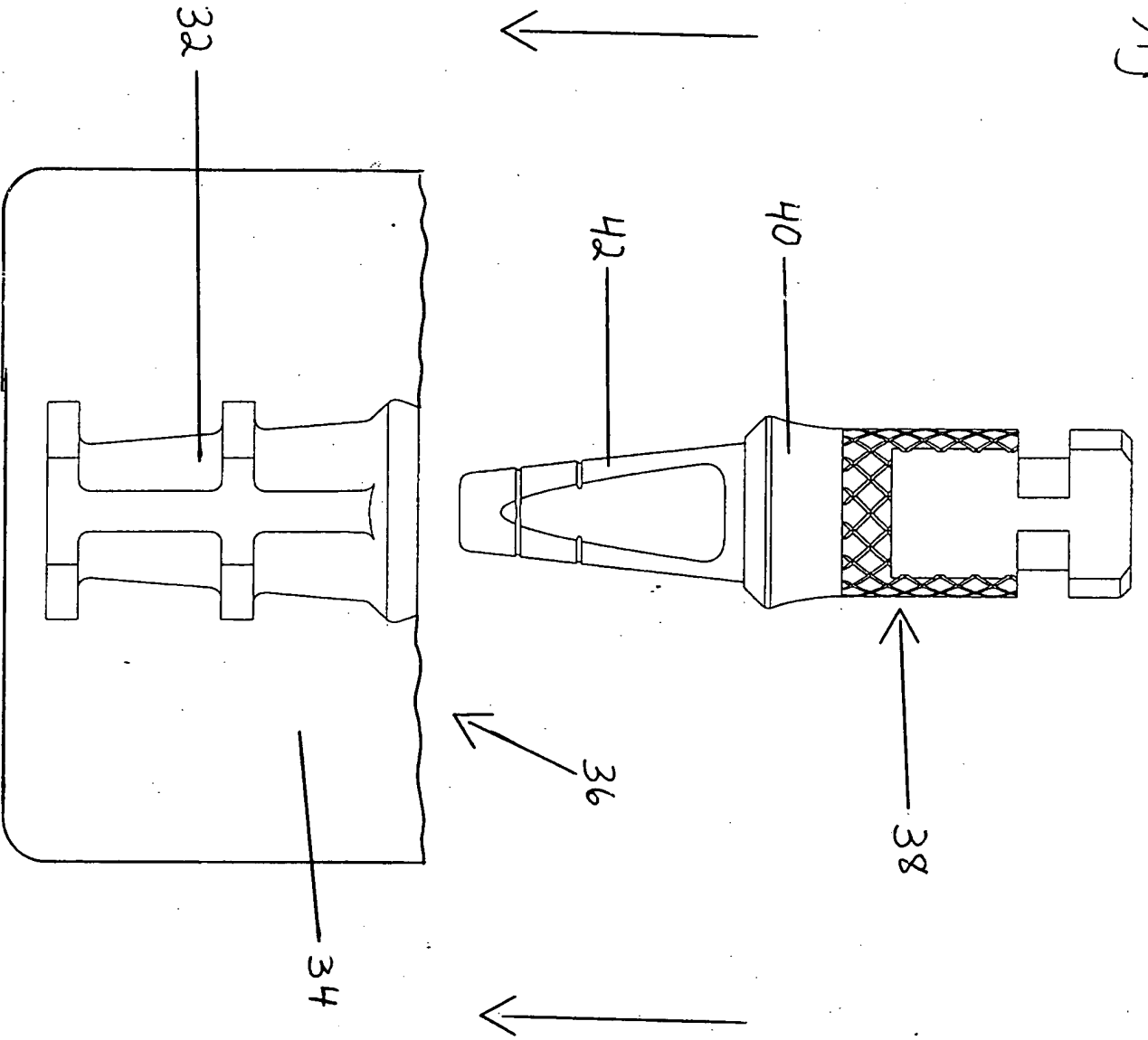


FIG 3

FIG 4



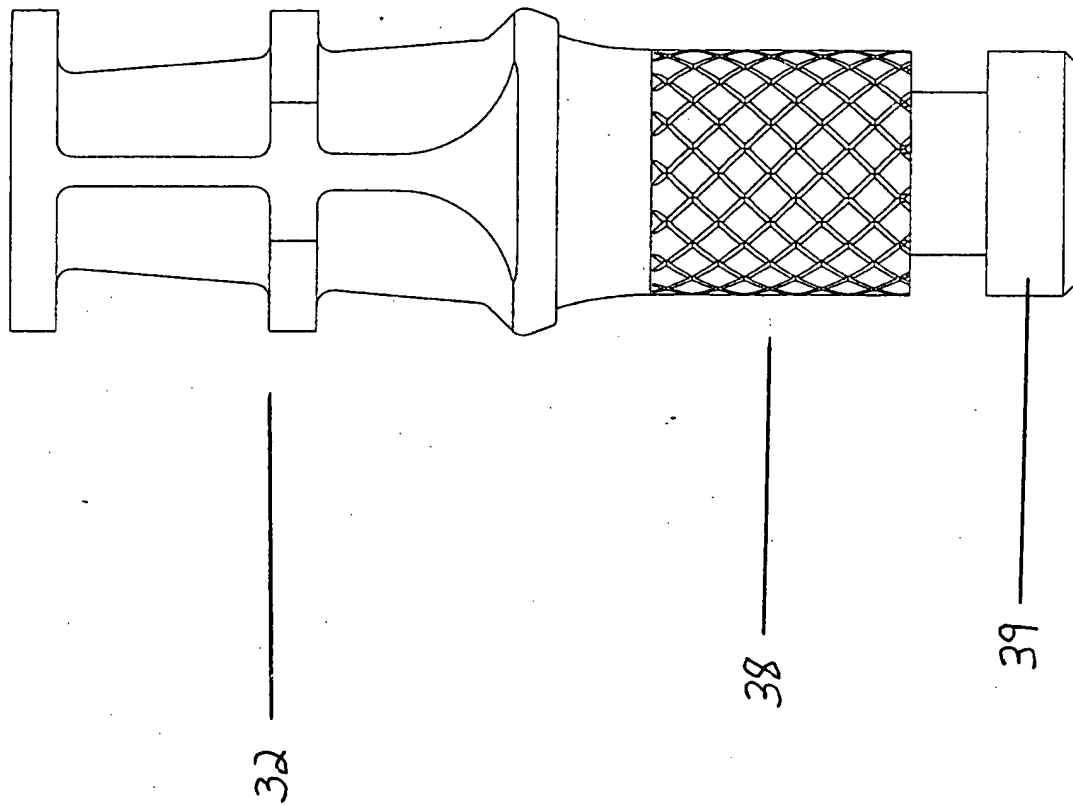


FIG 5

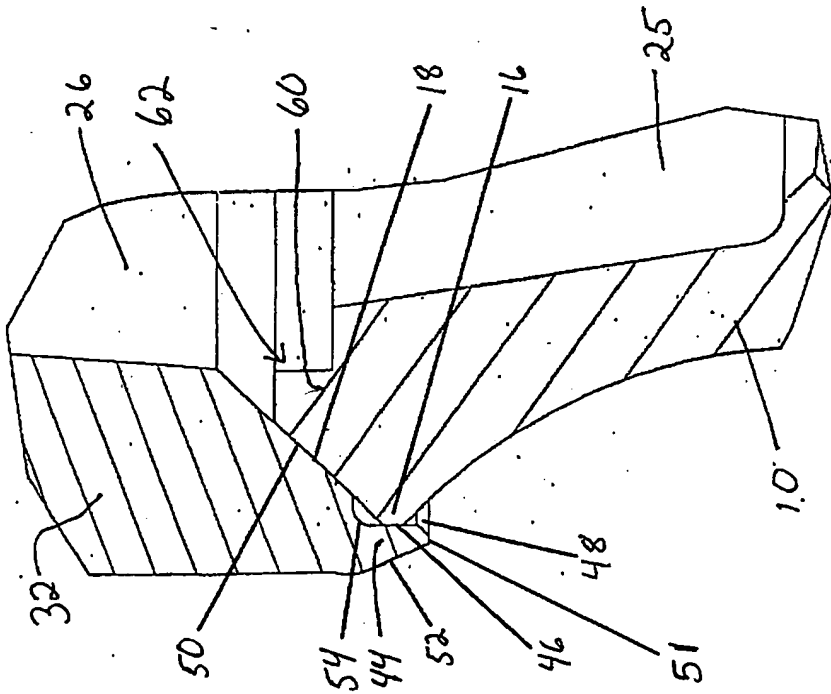


Fig. 7

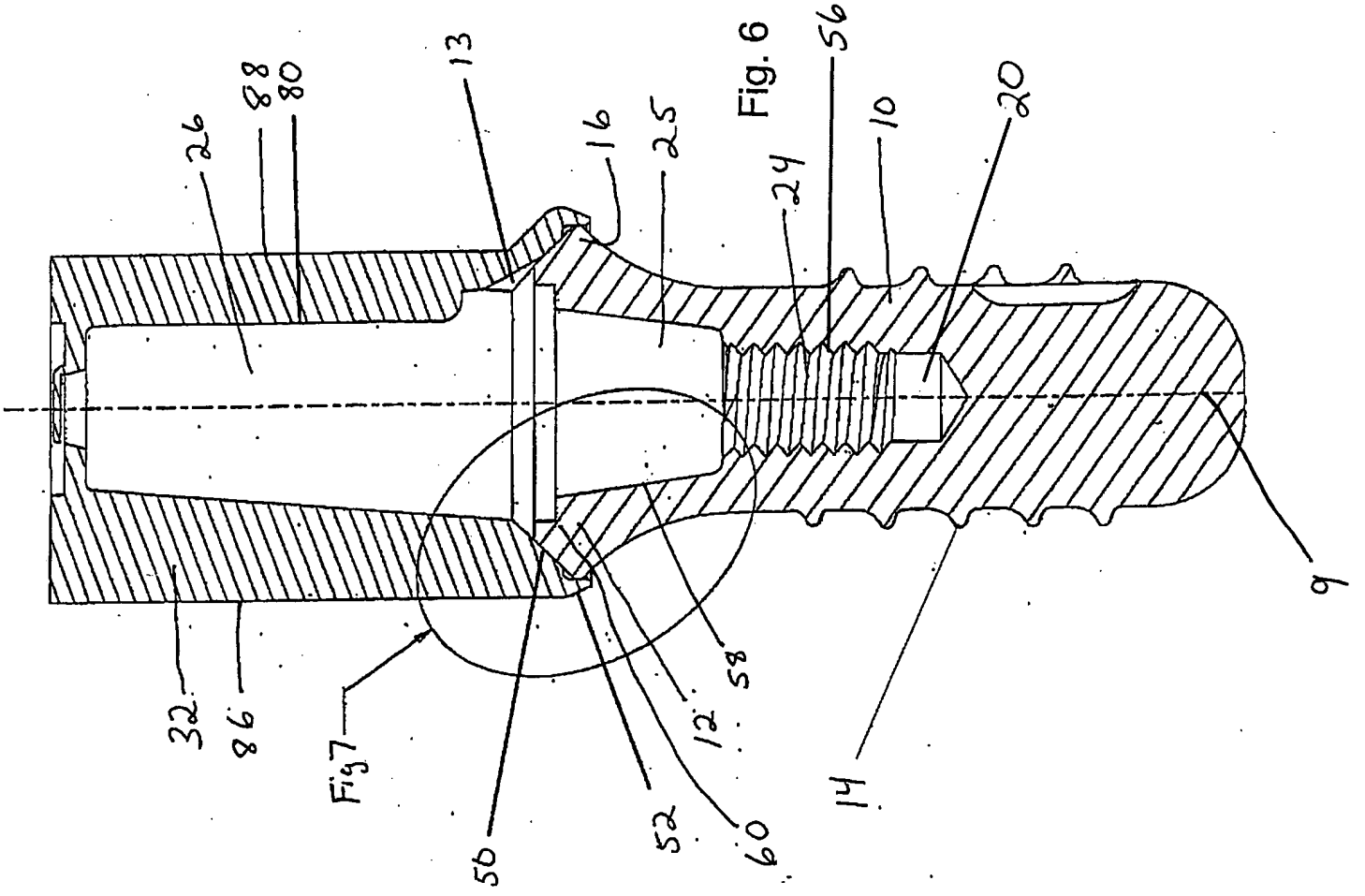


Fig. 6

Fig. 8

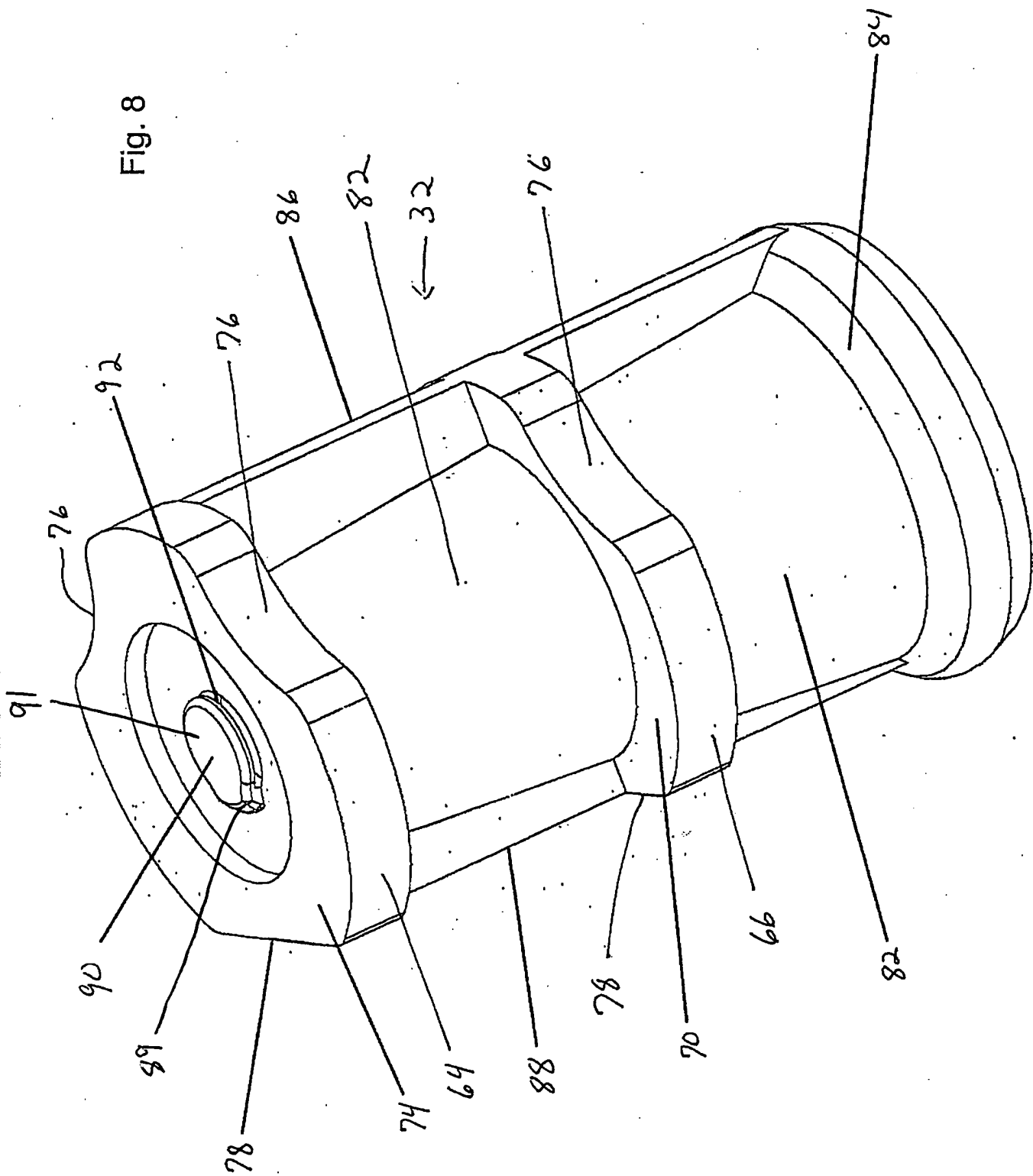
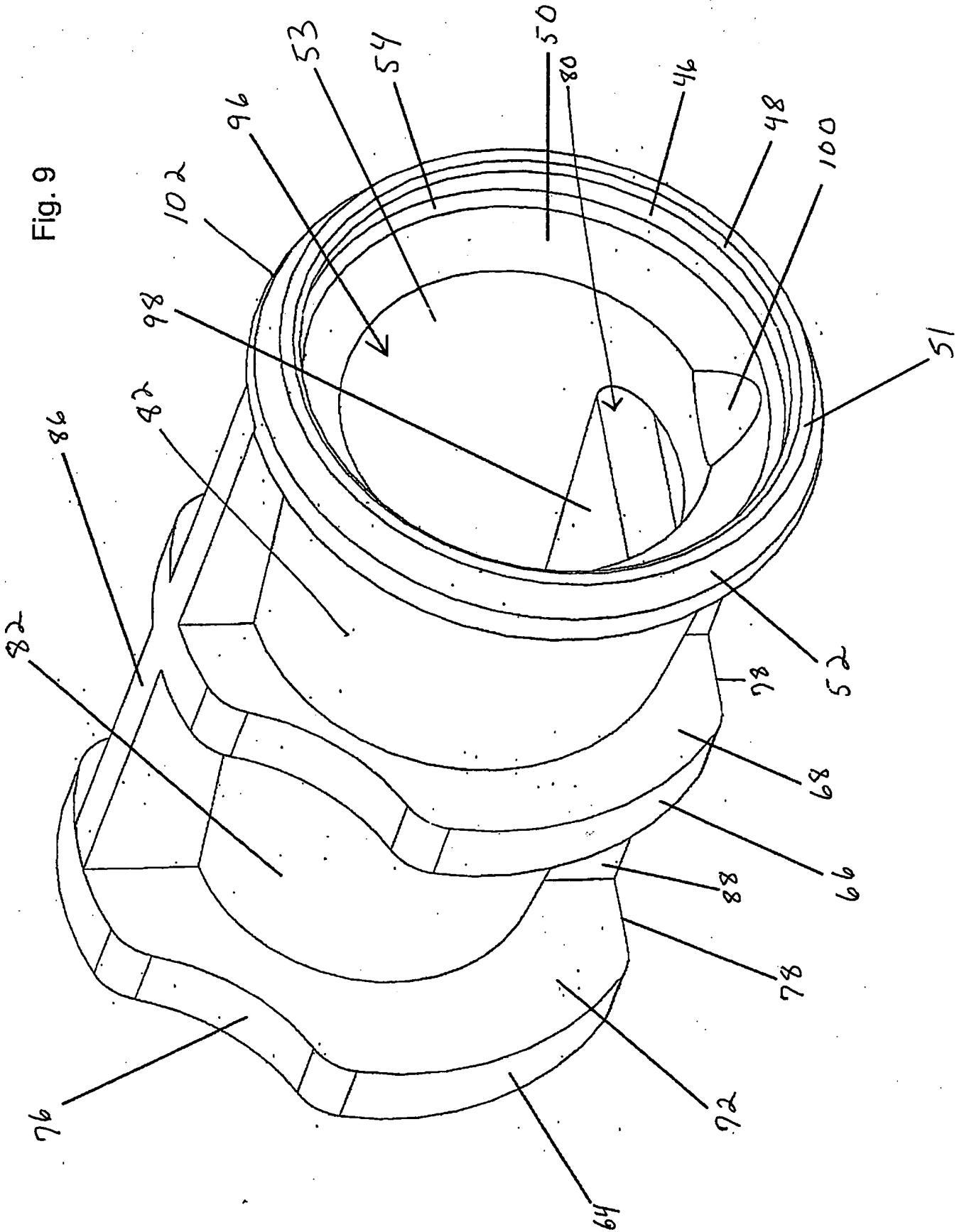


Fig. 9



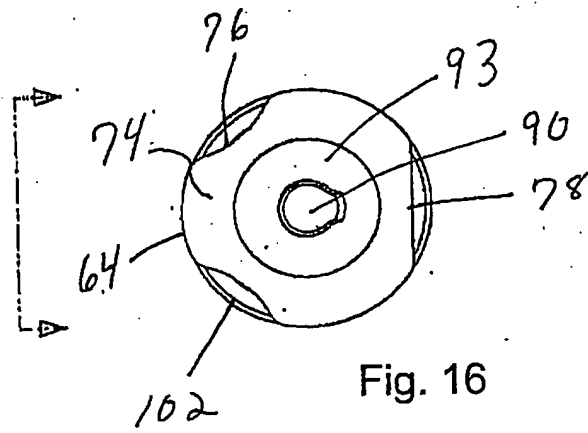


Fig. 16

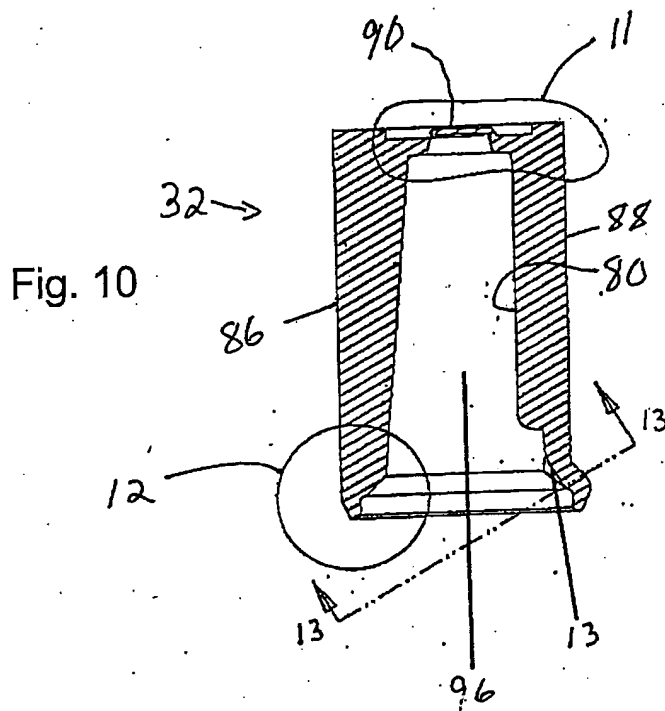


Fig. 10

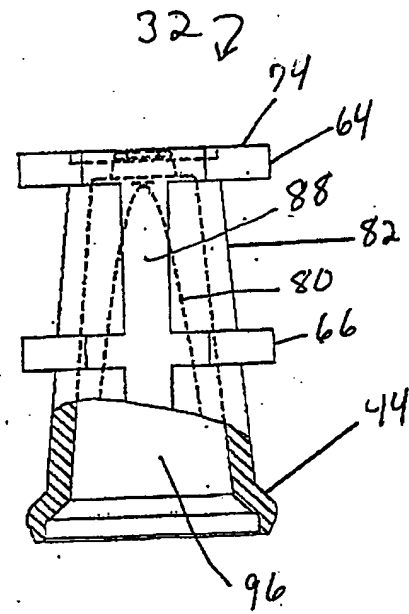


Fig. 15

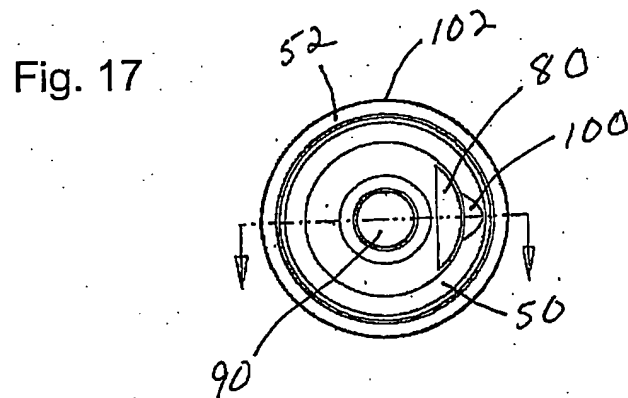


Fig. 17

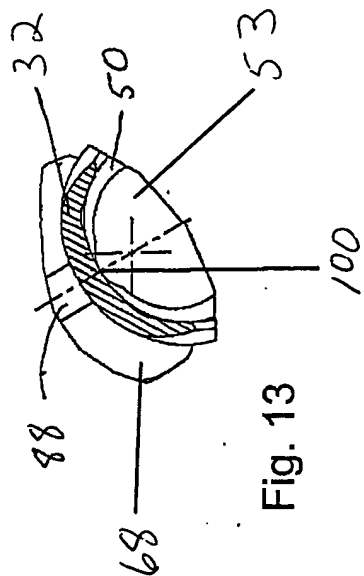


Fig. 13

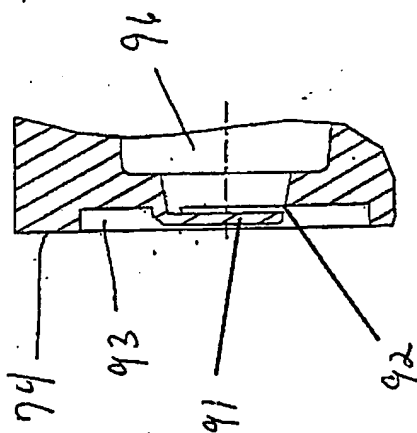


Fig. 11

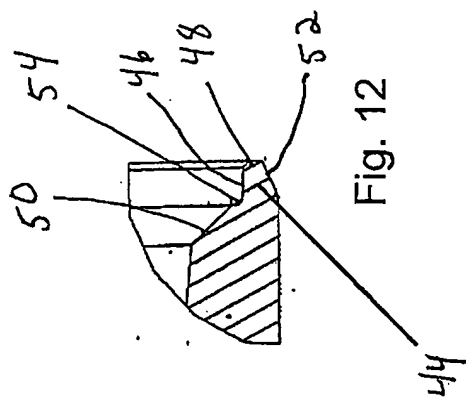


Fig. 12

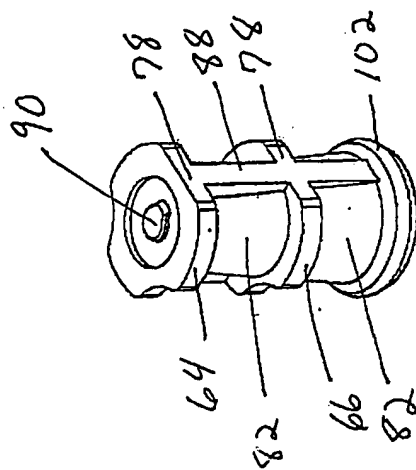


Fig. 8a

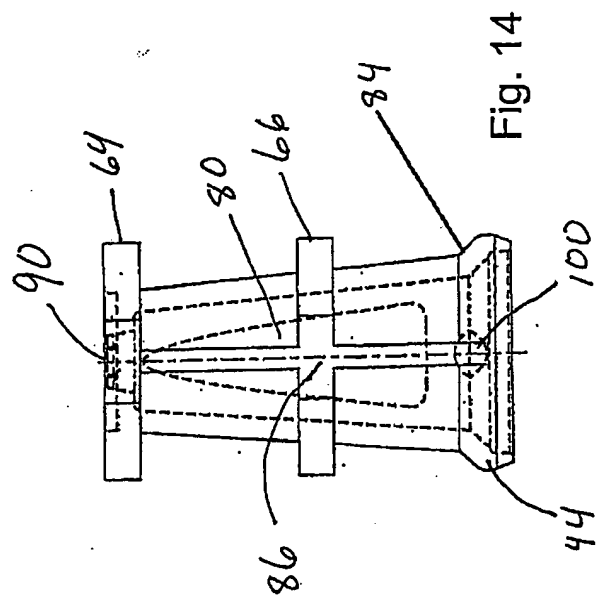
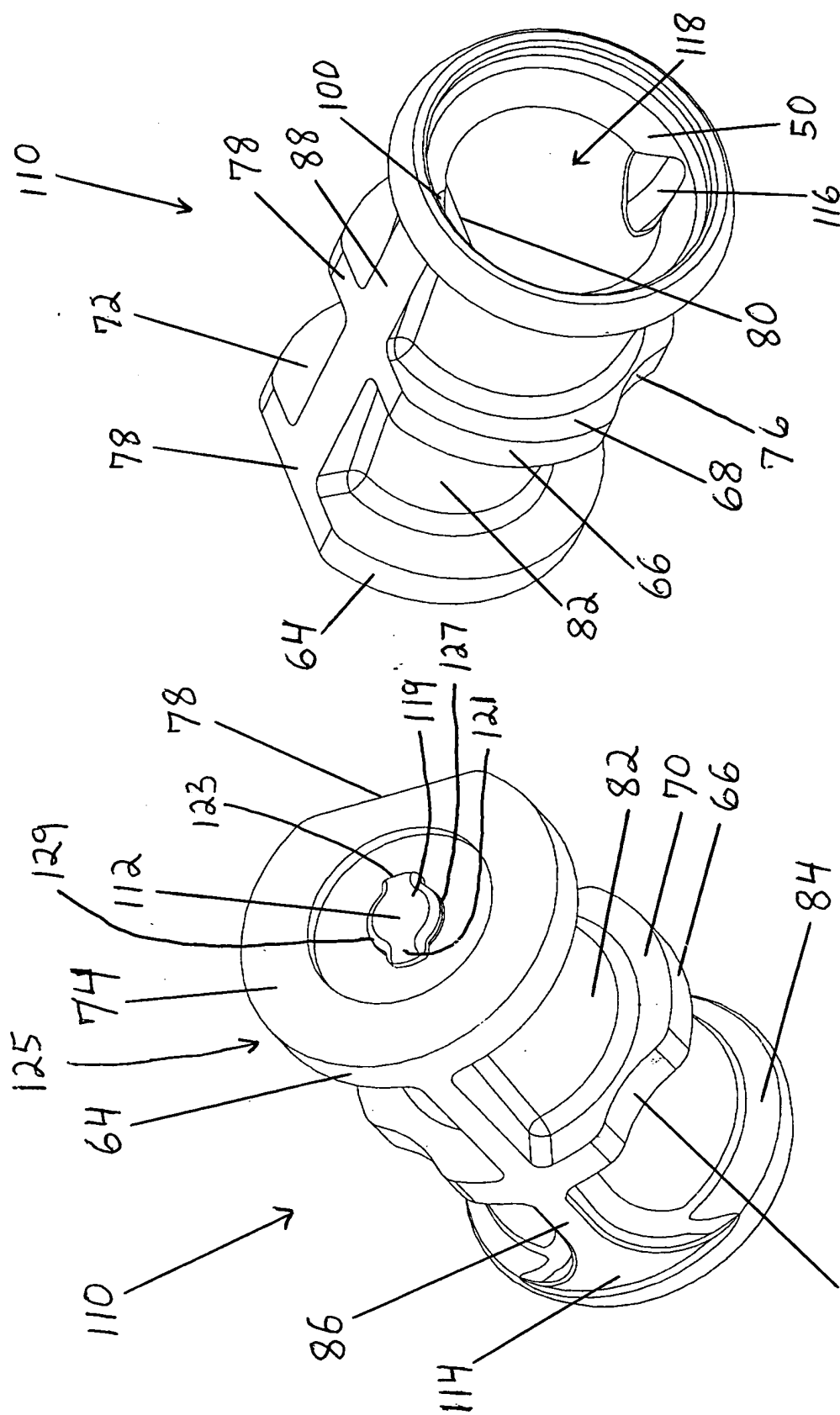
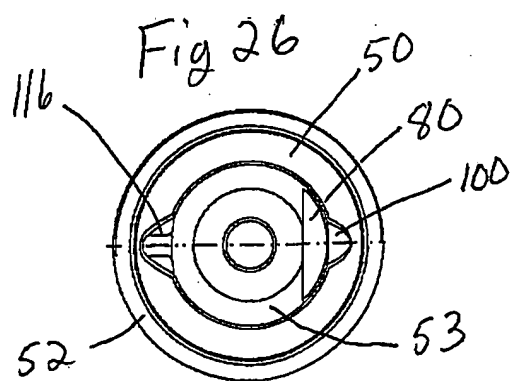
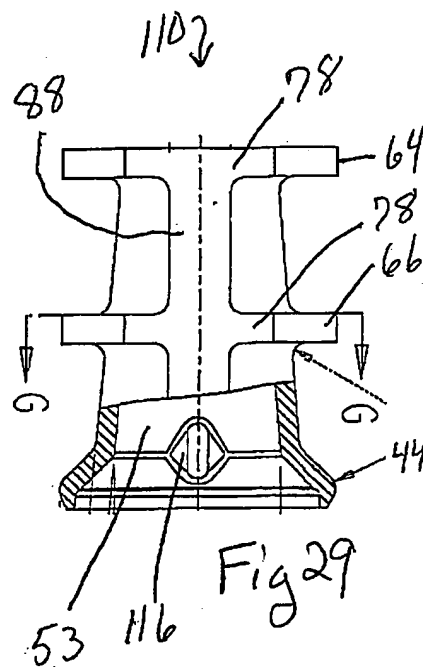
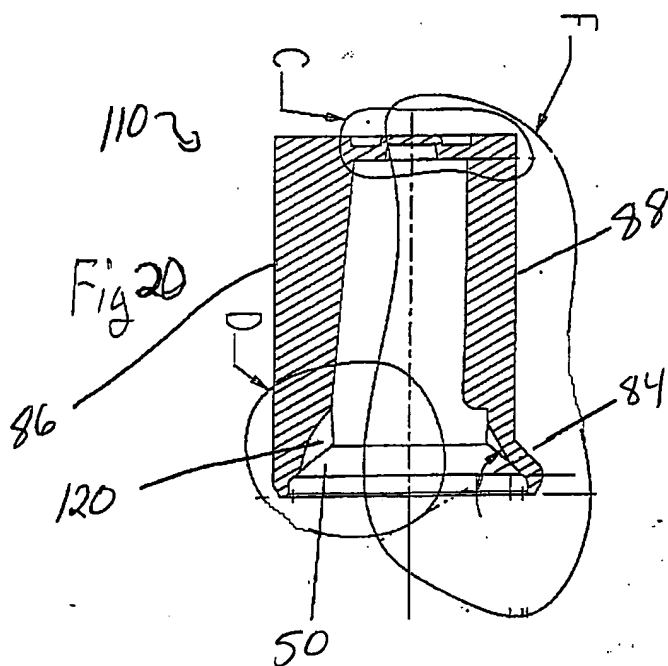
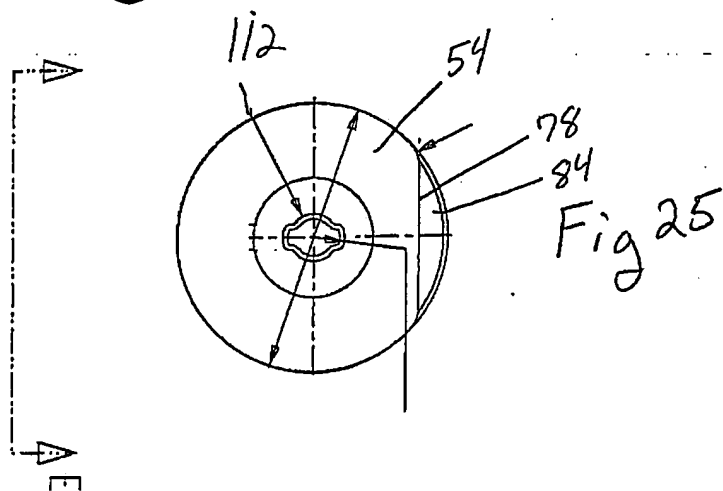


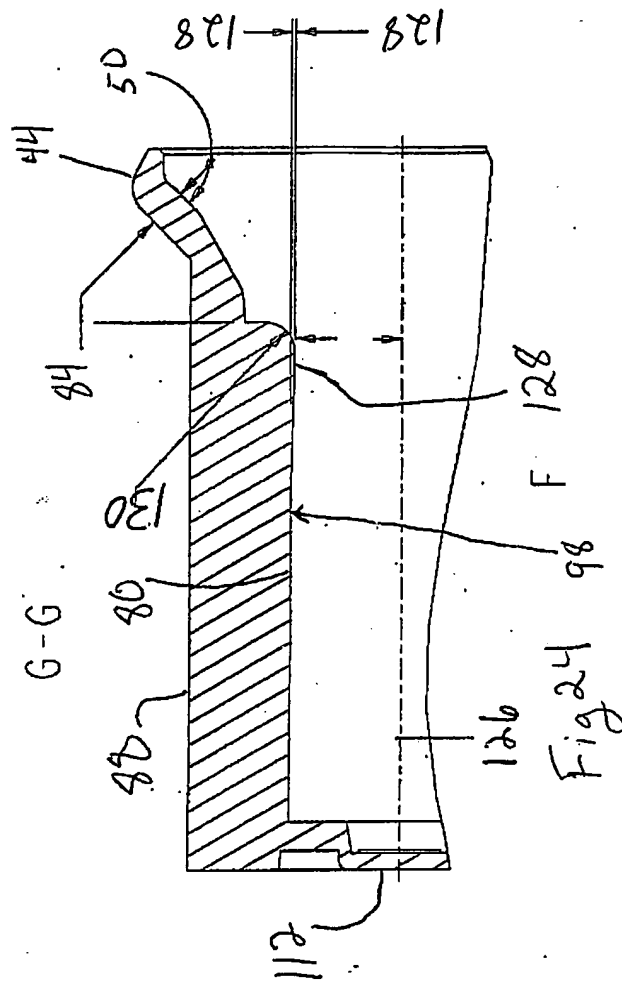
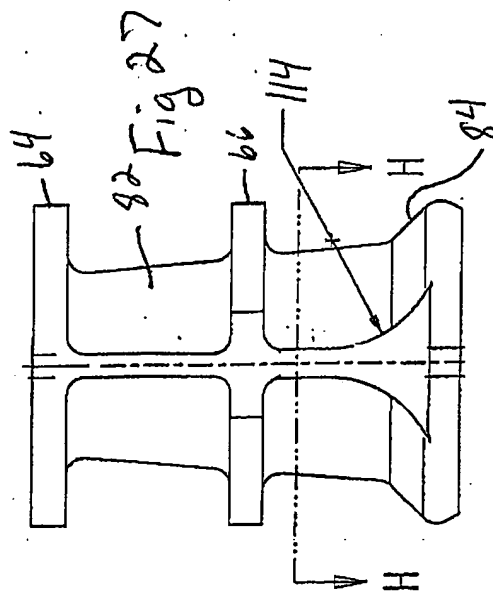
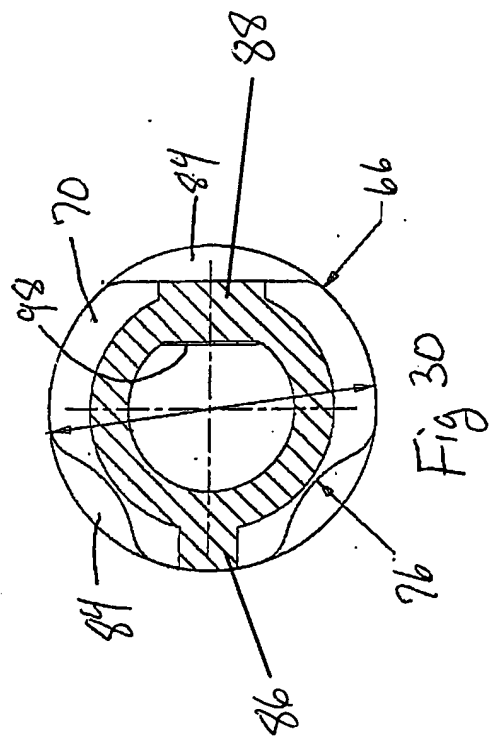
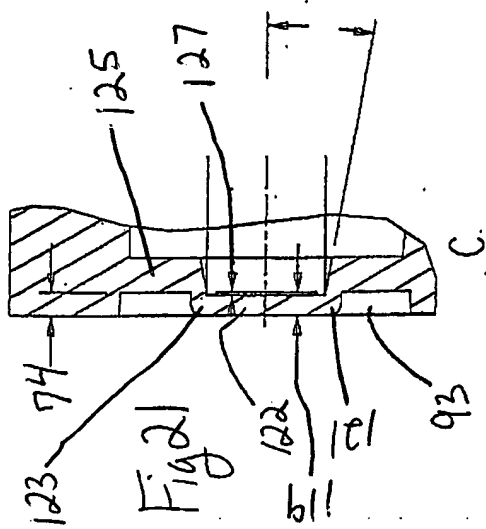
Fig. 14



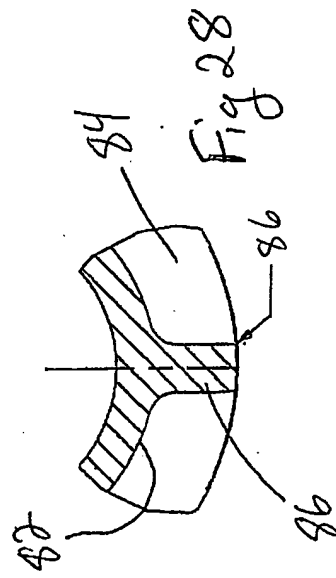
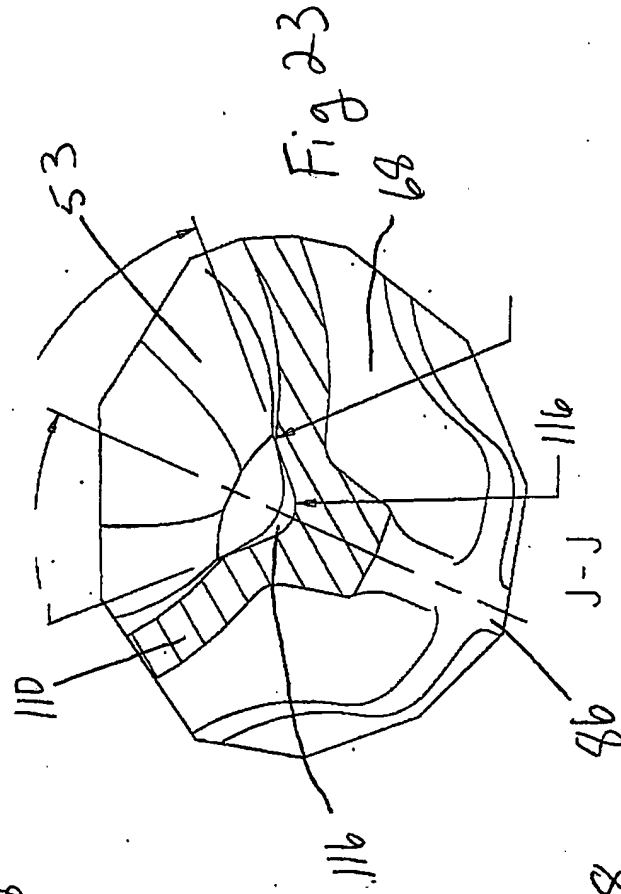
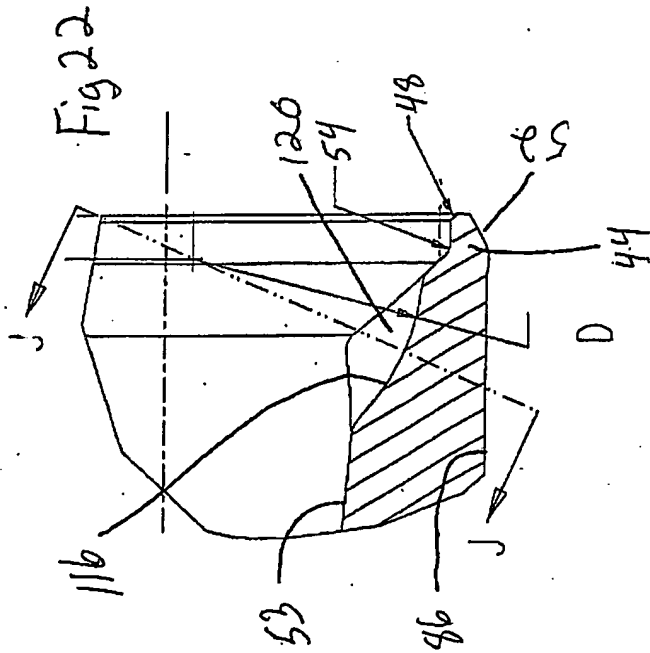
7/6

Fig. 19





VIEW E-E



H-H

Fig 24a

